

## ГЕОМЕХАНИКА

**УДК 622.831.322.001**

**Г.А. Беспятов**

### **ОПРЕДЕЛЕНИЕ ФИЛЬТРАЦИОННЫХ ПАРАМЕТРОВ ДИССИПАТИВНОЙ СТРУКТУРЫ УГОЛЬНЫХ ПЛАСТОВ**

Под действием потоков вещества и энергии в некоторых угольных пластах формируются диссипативные структуры или выбросоопасные зоны. В Кузбассе было выявлено свыше 200 таких зон при вскрытии и пересечении 13 угольных пластов полевыми выработками и более 600 выбросоопасных зон выявлено текущим прогнозом при проведении подготовительных выработок по 27 угольным пластам (табл. 1) [3].

Определение выбросоопасных зон производится бурением разведочных скважин. Считается, что выбросоопасная зона обнаружена, если ее подсекли две или более скважин с вероятностью

не менее 50%. В табл. 2 приведены вероятности подсечения газодинамических зон двумя или более скважинами существующей сети геологоразведочных скважин для некоторых выбросоопасных шахт [3].

Анализ результатов табл. 2 показывают, что на шахтах “Северная” и “Ноградская” газодинамические зоны размерами  $1250 \times 125$  подсекаются двумя и более скважинами с вероятностью 0,53, а зоны на шахтах “Анжерская” и “Чертинская” – двумя и более скважинами с вероятностью 0,07, т.е. практически не подсекаются.

Выявлением выбросоопасных зон занимается

Таблица 1. Газодинамическая активность на разрабатываемых шахтами месторождений Кузбасса

Месторождения	Количество				
	Внезапных выбросов угля и газа	Внезапных высыпаний (обрушений)	Выбросоопасных зон при прогнозе	Шахтопластов	Шахт
1	2	3	4	5	6
Анжерское	4	12	21	5	2
Березовско-Бирюлинское	16	6	43	6	3
Кемеровское	112	10	349	12	3
Чертинское	3	9	55	7	3
Киселевское	2	6	6	8	4
Прокопьевское	38	41	280	45	10
Ариличевское	8	6	48	7	2
Байдаевская	2	15	6	8	5
Осиновская	3	21	23	8	2
Томское	0	3	-	2	1
Ольгерасское	1	5	4	2	2
Кузбасс	189	134	835	110	37

Таблица 2. Вероятность подсечения газодинамических зон существующей сетью геологоразведочных скважин

Шахта	Размеры зон (м)	Расстояние (м)		Вероятности (р)
		d'	h'	
“Северная”	1250 x 125	600	120	0,53
“Ноградская”	1250 x 125	600	120	0,53
“Березовска”	500 x 100	250	100	0,55
“Бирюлинская”	500 x 100	250	100	0,55
“Анжерская”	250 x 75	250	100	0,07
“Чертинская”	250 x 75	250	100	0,07

сейсморазведка. Но и ее эффективность не превышает 70% [2].

Причиной этого является недостаточная теоретическая изученность структуры волнового поля в угольном массиве, использование Гуковской модели и перенесения опытных данных, полученных лабораторным путем на обширные участки угольных пластов [5].

Повысить надежность сейсмопрогноза можно за счет математической модели, учитывающей диссипацию упругой энергии во всем диапазоне сейсмических частот (50-150 Гц).

Наиболее близко к реальным условиям подходит математическая модель Кельвина-Фогта и Максвелла [1].

$$\rho \frac{\partial^2 u}{\partial t^2} = \mu \frac{\partial^3 u}{\partial y^2 \partial t} + \mu_1 \frac{\partial^3 u}{\partial x^2 \partial t} - \frac{\rho \mu}{\eta'} \cdot \frac{\partial u}{\partial t} \quad (1)$$

где  $u$  – смещение,  $\mu$  – модуль сдвига,  $\rho$  – плотность среды,  $\mu_1$ ,  $\eta'$  – коэффициенты, учитывающие вязкое трение в среде.

В данной модели диссипативная функция характеризующая поглощение упругой энергии, равна:

$$\frac{1}{Q} = \frac{\mu_1 \omega}{\mu} + \frac{\eta_1}{\rho \omega} \quad (2)$$

где  $\eta_1$  – вязкость флюида в порах

Отсюда следует, что высокие частоты поглощаются за счет первого слагаемого (зависимость Кельвина-Фогта), а низкие частоты – за счет второго слагаемого (зависимость Максвелла).

Из уравнения (1) можно найти квадрат волнового числа:

$$K^2 = \frac{\rho \omega^2}{\mu} \times \left[ \frac{1 - \frac{\mu_1 \eta_1}{\rho \mu} - i \omega \left( \frac{\mu_1}{\mu} + \frac{\eta_1}{\rho \omega^2} \right)}{1 + \left( \omega \frac{\mu_1}{\mu} \right)^2} \right] \quad (3)$$

Вводя обозначения  $\tau = \mu_1 / \mu$ ,  $\theta = \rho / \eta_1$ , сведем уравнение (3) к виду:

$$K^2 = \frac{\rho \omega^2}{\mu} \times \left[ \frac{1 - \frac{\tau}{\theta} - i \omega \left( \tau + \frac{1}{\theta \omega^2} \right)}{1 + (\omega \tau)^2} \right] \quad (4)$$

Используем уравнения состояния твердой и жидкой фаз в массиве, которые имеют вид:

$$\sigma = (x + 2\mu) \varepsilon_1 - k_3 \varepsilon_2 \quad (5)$$

$$P_2 = -K_2 \cdot \varepsilon_2 \quad (6)$$

где  $K_3 = K \cdot K_2 / K_1$ ,  $K_1$  и  $K_2$  – модули сжатия соответственно для твердого тела и жидкости в порах;  $\varepsilon_1$  и  $\varepsilon_2$  – деформация этих фаз;  $P_2$  – гидростатическое давление в парах.

С учетом приведенных уравнений состояния можно записать уравнение (1) в виде двух волновых уравнений [2]:

$$\rho_3 \frac{\partial^2 u}{\partial t^2} = \mu \frac{\partial^2 u_1}{\partial x^2} + [(1 - K_{\Pi}) K_2 - K_3] \times \frac{\partial^2 u_2}{\partial x^2} + \frac{\nu K_{\Pi}}{K_{\text{пр}}} \left( \frac{\partial u_2}{\partial t} - \frac{\partial u_1}{\partial t} \right) \quad (7)$$

$$\rho_4 \frac{\partial^2 u_2}{\partial t^2} = - \frac{\nu K_{\Pi}}{K_{\text{пр}}} \left( \frac{\partial u_2}{\partial t} - \frac{\partial u_1}{\partial t} \right), \quad (8)$$

где  $K_n$ ,  $K_{np}$  – коэффициенты пористости и проницаемости.

Введем обозначения:

$$\theta_1 = \frac{\rho_3 \rho_4}{\rho} \cdot \frac{K_{\text{пр}}}{K_{\Pi} \nu} \quad (9)$$

$$\tau_1 = \rho_4 \frac{K_{\text{пр}}}{K_{\Pi} \nu}$$

Из уравнений (7) и (8) с учетом (9) так же определим квадрат волнового числа:

$$K^2 = \frac{\rho \omega^2}{\mu} \left[ \frac{1 + i \omega \theta_1}{1 + \omega \tau_1} \right] \quad (10)$$

Сопоставляя (4) и (10), получим два параметра  $\tau$  и  $\theta_1$  – характеризующие затухание волнового поля в массиве, причем  $\tau$  характеризует затухание  $e$  при  $\tau$  и  $\theta_1$  и высоких частотах, а  $\theta$  при низких.

Найденные зависимости имеют важное практическое значение, т.к. используя их по сейсмоакустической информации можно получить коэффициенты пористости и проницаемости, которые обычно получают в лабораторных условиях достаточно трудоемко и весьма не точно. Релаксационные параметры  $\tau$  и  $\theta_1$  и упруговязкие коэффициенты  $\mu_1$  и  $\eta_1$  в лабораторных условиях вообще не определяются.

В качестве примера найдем интегрально-усредненные фильтрационные параметры по длине выбросоопасных зон.

При обычном сейсмоакустическом прозвучивании на частоте  $\omega = 314[\text{с}^{-1}]$  выбросоопасной зоны, имеющей плотность  $\rho = 1300[\text{кг}/\text{м}^3]$ , плотность скелета  $\rho_1 = 1500[\text{кг}/\text{м}^3]$ , плотность флюида в порах  $\rho_2 = 1000[\text{кг}/\text{м}^3]$  и  $P = 0,3$ , были получены следующие данные:

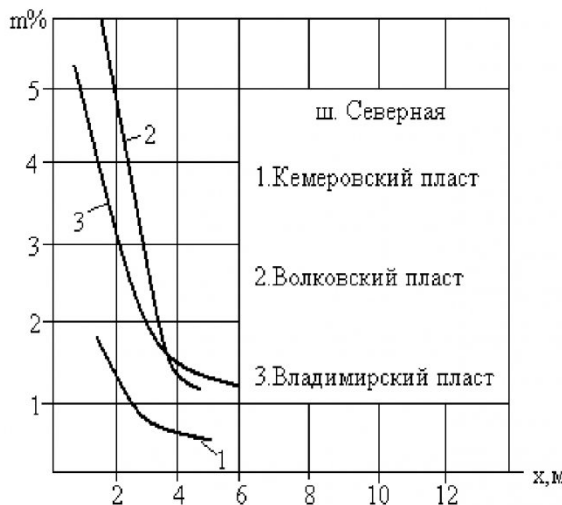


Рис. 1 Изменение пористости угольных пластов в зоне влияния механической супфозии.

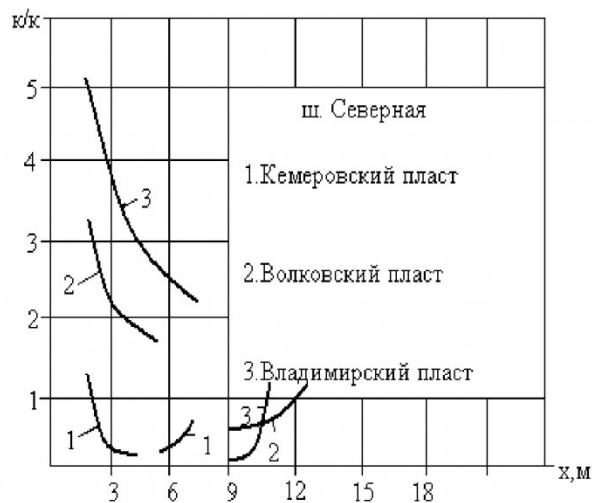


Рис. 2 Изменение газопроницаемости угольных пластов в зоне влияния механической супфозии.

1. Коэффициент Ламе

$$\mu = \rho C^2 = 1,3 \cdot 10^9 \text{ Па};$$

2.  $\lambda = \rho C^2 - 2\mu = 1,6 \cdot 10^9 \text{ Па};$

3. Коэффициент пористости

$$K_{\Pi} = \frac{\rho_1 - \rho_2}{\rho_1 - \rho_2 \Pi} = 16,7\%;$$

4. Время релаксации

$$\tau = \frac{\alpha C}{\omega^2} = 10^{-3} \text{ с}.$$

$$\theta = \frac{\rho / \rho_1}{\omega^2 \tau} = 1,0 \text{ с};$$

5. Упруго-вязкие коэффициенты

$$\mu_1 = \mu \tau = 1,3 \cdot 10^4 \text{ Па} \cdot \text{с};$$

$$\eta_1 = \frac{\rho}{\theta} = 1,2 \cdot 10^3 \text{ Па} \cdot \text{с} / \text{м}^2;$$

6. Коэффициент проницаемости

$$K_{\Pi P} = \frac{v \tau}{\rho_3 \rho} = 3,4 \cdot 10^{-20} \text{ м}^2.$$

Сравнивая полученные коэффициенты проницаемости в выбросоопасных зонах и в нетронутом массиве угля, можно сделать вывод о том, что проницаемость в выбросоопасной зоне в 10-40 раз ниже, чем в нетронутом массиве [4].

## СПИСОК ЛИТЕРАТУРЫ

1. Knopoff L., Mac Donald F. Attenuation of Small Amplitude, Stress Waves in Solids. Reviews of Modern Physics, Vol. 30. №4 (October 1958), P. 1178-1192
2. Кондратьев О.К. Сейсмические войны в поглощенных средах. -М.: Недра, 1986.
3. Кнуренко В.А., Рудаков В.А., и д.р. Региональный прогноз выбросоопасности угольных пластов Кузбасса. - Кемерово 1997.
4. Беспятов Г.А., Вылегжанин В.Н., Золотых С.С. Синергетика выбросоопасной горной среды. - Новосибирск. Наука. Сибирская издательская фирма РАН. 1996. 190 с.
5. Зельдович Я.Б., Райзер Ю.П. Физика ударных волн высокотемпературных гидродинамических явлений. - М.: Наука, 1996

□ Автор статьи:

Беспятов  
Геннадий Александрович  
- докт. техн. наук, проф.  
каф. математики КузГТУ  
E.mail:  
dr.bespiatov@yandex.ru